(一財) 港湾空港総合技術センター 令和6年度研究開発助成成果報告会研究開発項目:⑥「港湾、空港におけるカーボンニュートラルに資する技術に関する研究」に関するもの

瀬戸内海全域を対象とした流動環境予測技術 の高精度化に関する研究

助成番号: R6第18-2号

内山雄介(神戸大学工学研究科市民工学専攻)

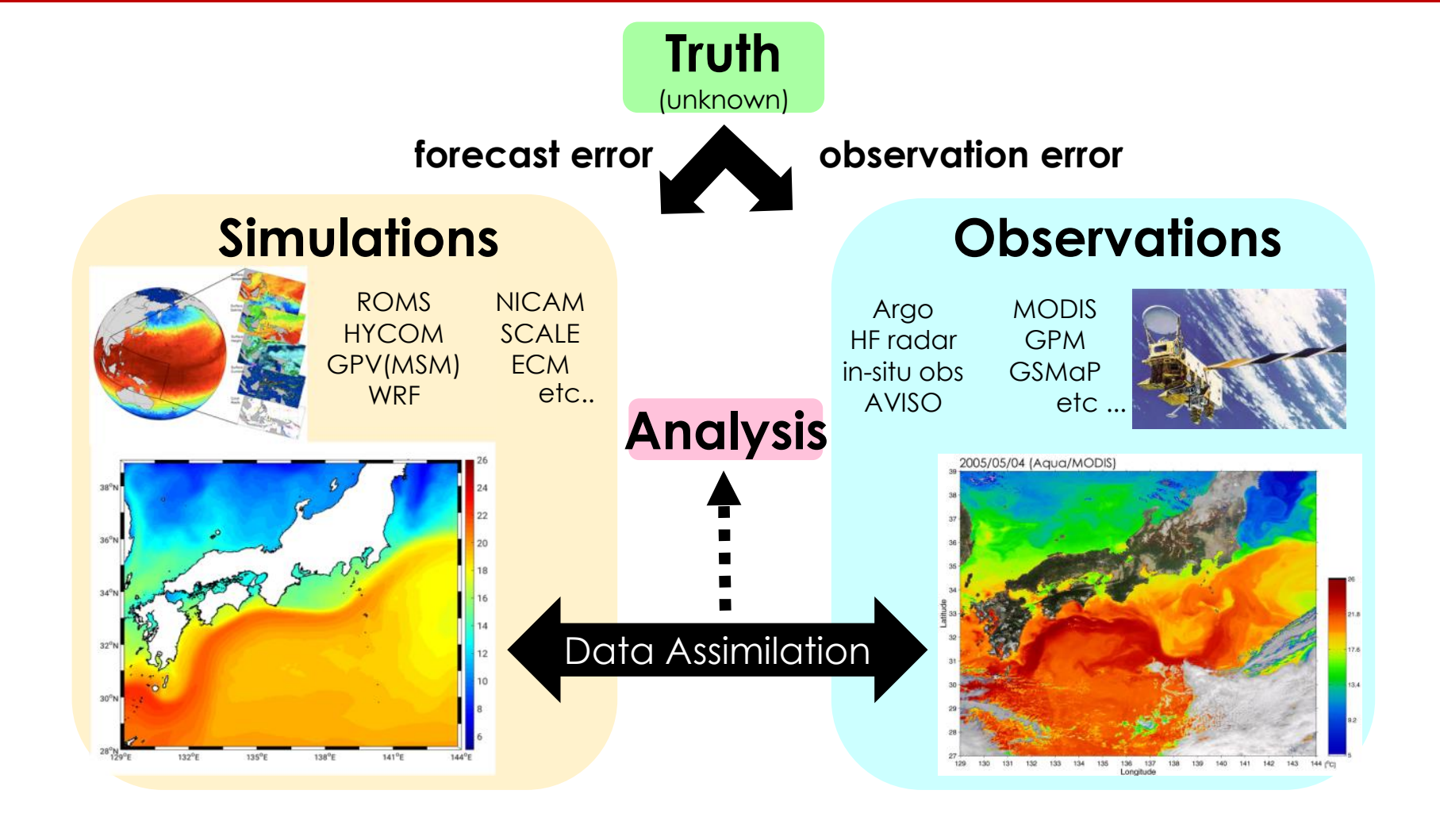
## 研究背景

- 瀬戸内海は日本の最大の内海であり、沿岸域の多くの人々の暮らしを支えてきた。そのため、瀬戸内海における高精度な海況予報は、生態系調査・防災・港湾管理など、様々な分野から期待されている。
- 瀬戸内海では,多様な地形条件,河川からの淡水流入,黒潮流路変動に伴う瀬戸内海通過流の変動などの影響を強く受けるため,そこでの流動や水質は極めて複雑である.
- より精緻な内部流動の再現性が求められる状況下では、通常の数値モデルによって3次元流動場を 詳細かつ正確に表現することは困難な場合がある(数値モデルの限界)

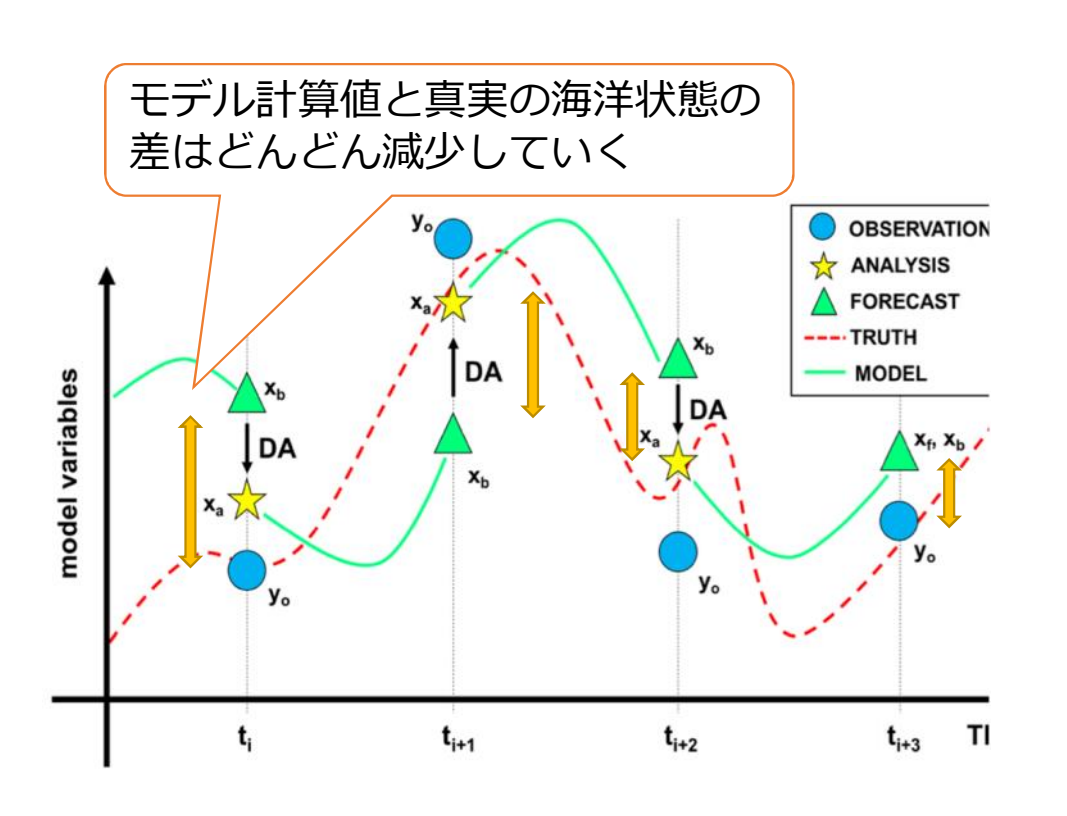


- データ同化により数値シミュレーションモデルの再現性を向上させる手法の導入が必要である.
- しかし、半閉鎖性内湾域や沿岸域では、衛星データの精度劣化やArgoの欠測が深刻なボトルネックになり、データ同化の導入が立ち遅れていた. (同化のためのデータの限界)
- そこで本研究では、①瀬戸内海全域に対するデータ同化流動予測システムを開発し、②2つのデータ同化手法による再現性向上を評価するとともに、③新型衛星データ利用の効果測定および最適な観測計画策定方法の検討を行う

## データ同化(DA: Data Assimilation)とは



## データ同化手法1:3次元変分法(3DVAR)



最尤推定法によりコスト関数を最適化

$$J(\mathbf{x}) = \frac{1}{2} (\mathbf{x} - \mathbf{x}^b)^T \mathbf{B}^{-1} (\mathbf{x} - \mathbf{x}^b)$$
 解析値と予測値と 一 の差の大きさ  $+\frac{1}{2} (H(\mathbf{x}) - \mathbf{y})^T \mathbf{R}^{-1} (H(\mathbf{x}) - \mathbf{y})$ 

解析値と観測値と x :解析值

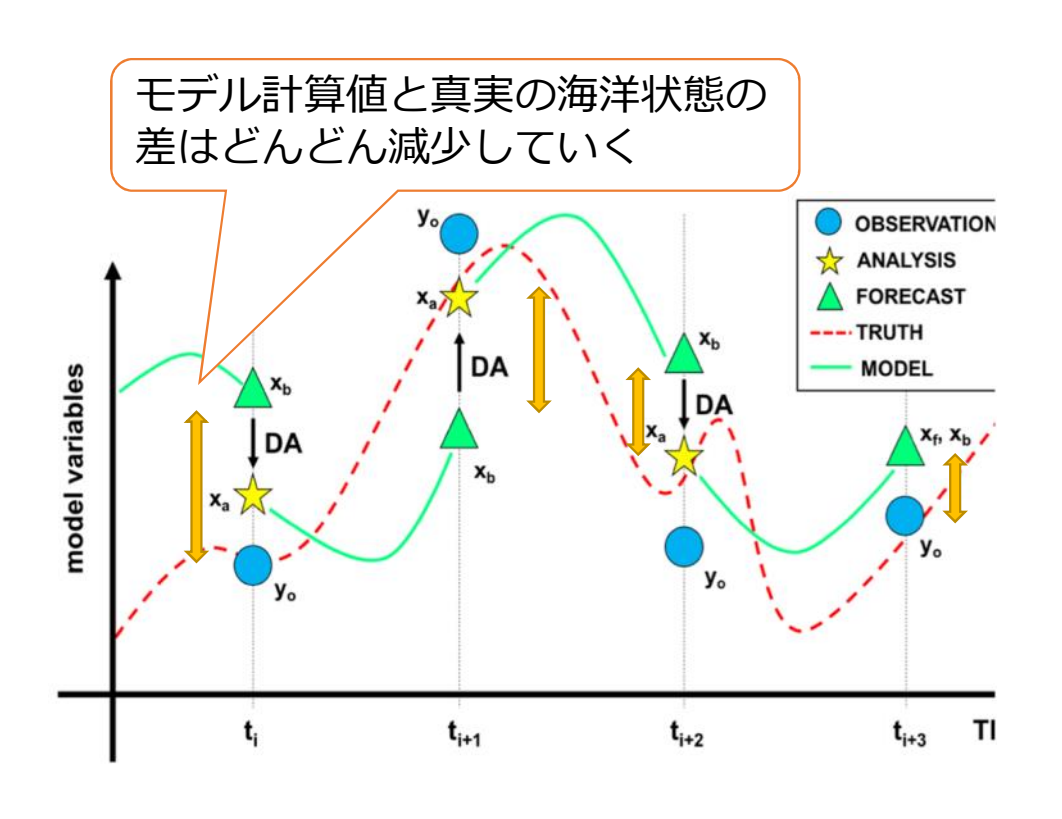
の差の大きさ

y : 観測値 xb:xの背景値 H: 観測演算子

R : 観測誤差分散共分散行列 B : 背景誤差分散共分散行列



## データ同化手法2:アンサンブルカルマンフィルター法(ENKF)



解析值(analysis)評価手順:

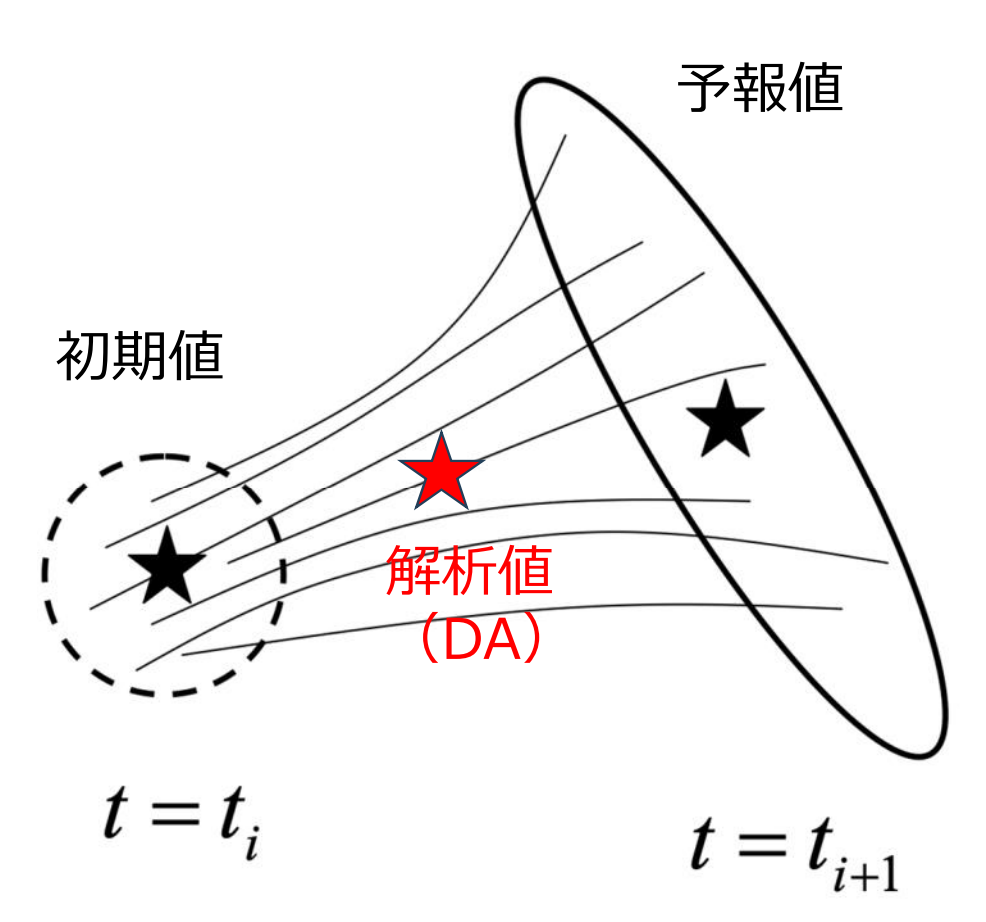
$$x_{i}^{a} = x_{i}^{b} + K_{i} \left( y_{i}^{o} - H_{i} (x_{i}^{b}) \right)$$

$$K_{i} = P_{i}^{b} H_{i}^{T} \left( H_{i} P_{i}^{b} H_{i}^{T} + R_{i} \right)^{-1}$$

$$P_{i}^{f} = \frac{1}{m-1} \delta X_{i}^{f} (\delta X_{i}^{f})^{T}$$

ここに, i = 1,2...N (Nは観測データの総数),  $x_i^a$  は解析値,  $x_i^b$  はモデル予報値(モデル計算結果),  $y_i^o$  は観測値,  $K_i$  はカルマンゲイン行列,  $H_i$  は観測演算子,  $P_i^b$  はモデル解析誤差共分散,  $R_i$  は観測誤差共分散,  $\delta X_i^f$  は各サンブルとサンプル平均の差に対応した行列, m はサンプル数である.

# 2つのデータ同化手法の利点・弱点



そもそも観測値にもモデル予報値にも誤差がある.

初期時刻 $t=t_i$ での誤差の広がり(点線)に対し、終端時刻 $t=t_{i+1}$ での誤差の広がり(実線)はより大きく,扁平になることが知られている.

3DVAR (4DVAR: モデルの改造が必要) 1組の観測値・モデル値を用いて1本の経路で修正 する → 低コスト・低品質 (誤差大きめ)

#### **ENKF**

多数の観測値(実測値にランダムな偏差を与える)とモデル値(複数の初期値に対応した予報値)の組を用いて「統計的に(=カルマンフィルタ)」1本の経路を求め、修正する → 高コスト・高品質(誤差小さめ)

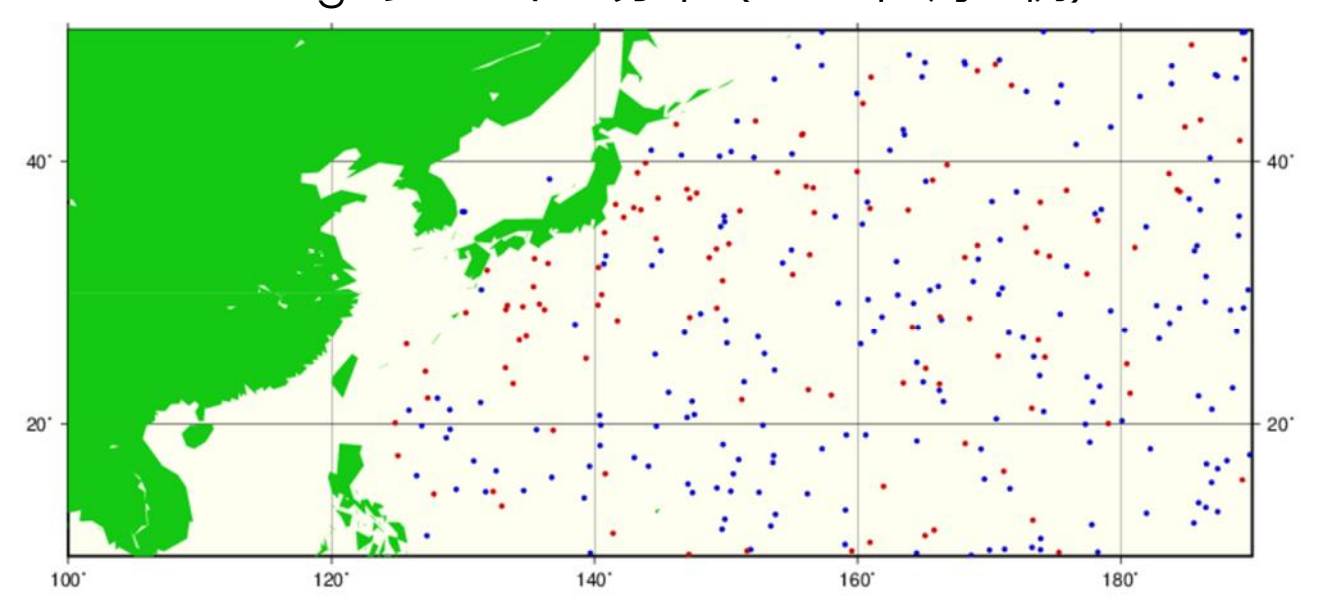
\*データ同化には他にも関数あてはめ法、最適内挿法、ナッジング法などがあるが、現業では使われていない

## 海洋・沿岸流動に対するデータ同化の実例・問題点

#### 【外洋】

- 気象庁 MOVE-JPN →大領域モデル(空間解像度100kmと10km)では4DVAR,沿岸域(解像度2km)では3DVAR,一部ENKFを使用
- JAMSTEC JCOPE2M(解像度10km), JCOPE-TDA(解像度3km)→3DVARを使用

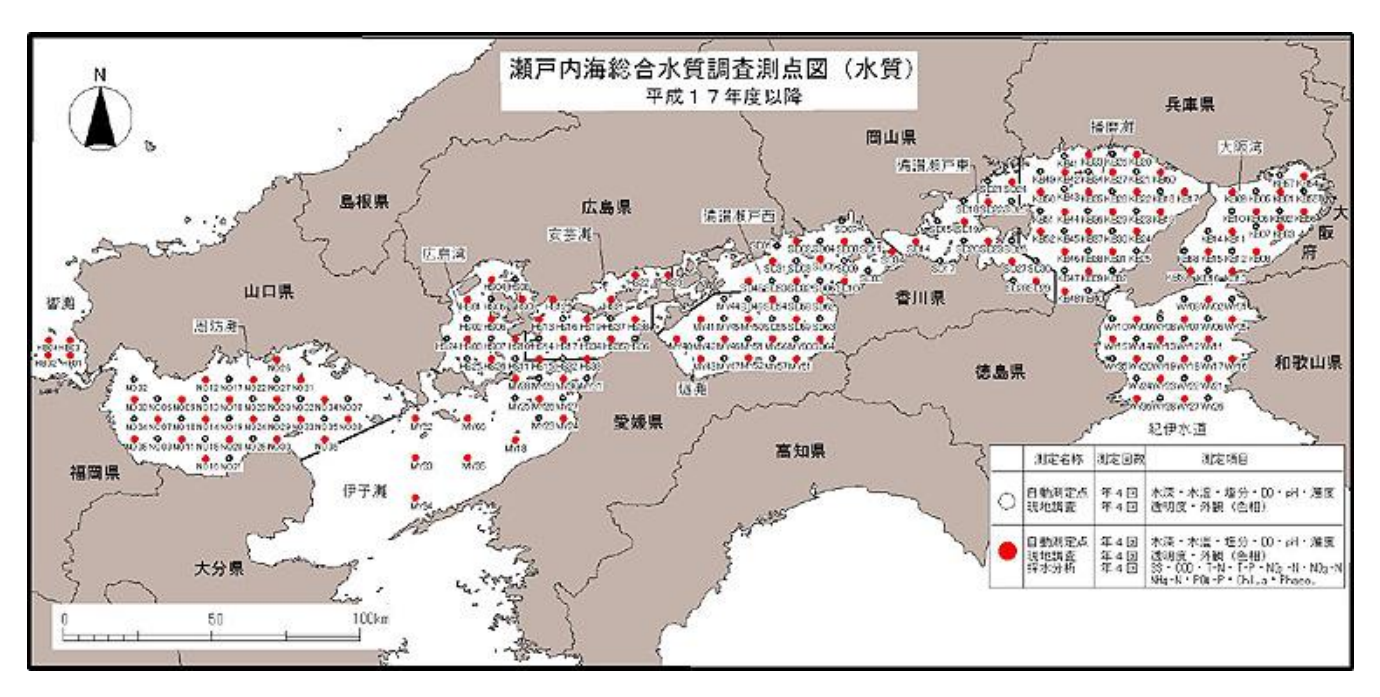
#### Argoフロートの分布(2025年6月の例)



#### 【沿岸・内湾】

- 大阪大学 ROMS → 大阪湾のみ, 4DVAR使用. データには大阪湾水質 定点自動観測システム(入江ら, 2013),海洋短波レーダー表面流 (入江ら,2012)
- データの制約:外洋では衛星データや Argoデータが利用できるが,沿岸域 では観測データの数が圧倒的に少な い.陸域ノイズ・水面下のデータ?

## 瀬戸内海全域における3次元的な観測データの利用



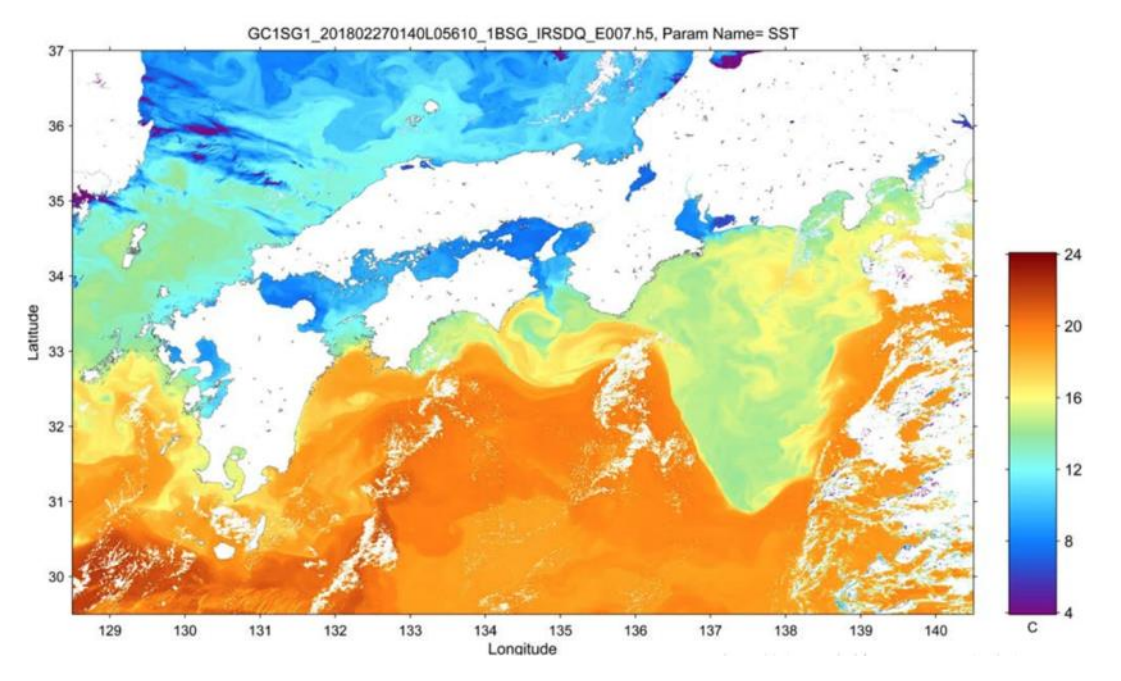
瀬戸内総合水質調査ホームページ

#### 本研究では

国土交通省近畿地方整備局 が海洋環境整備事業の一環 として行なっている観測 データを同化に使用する

#### 瀬戸内海全域における衛星観測データの利用可能性評価

2018年打ち上げられた観測衛星「しきさい」により,高解像度・高精度な瀬戸 内海沿岸域観測データが利用可能となった



「しきさい」人工衛星観測による海面 水温(解像度250m)

https://www.jaxa.jp/projects/sat/gcom c/pdf/20180803 shikisai.pdf

最新の「しきさい」人工衛星観測システムの観測点配置がモデル再現性に及ぼす 影響を検討

## 同化効果の評価方法

#### RMSE (二乗平均誤差平方根)

$$RMSE = \sqrt{\frac{\sum_{n=1}^{N} (y_i - x_i)^2}{N}}$$

nは比較対象とするデータ数(i = 1, ..., N)である.

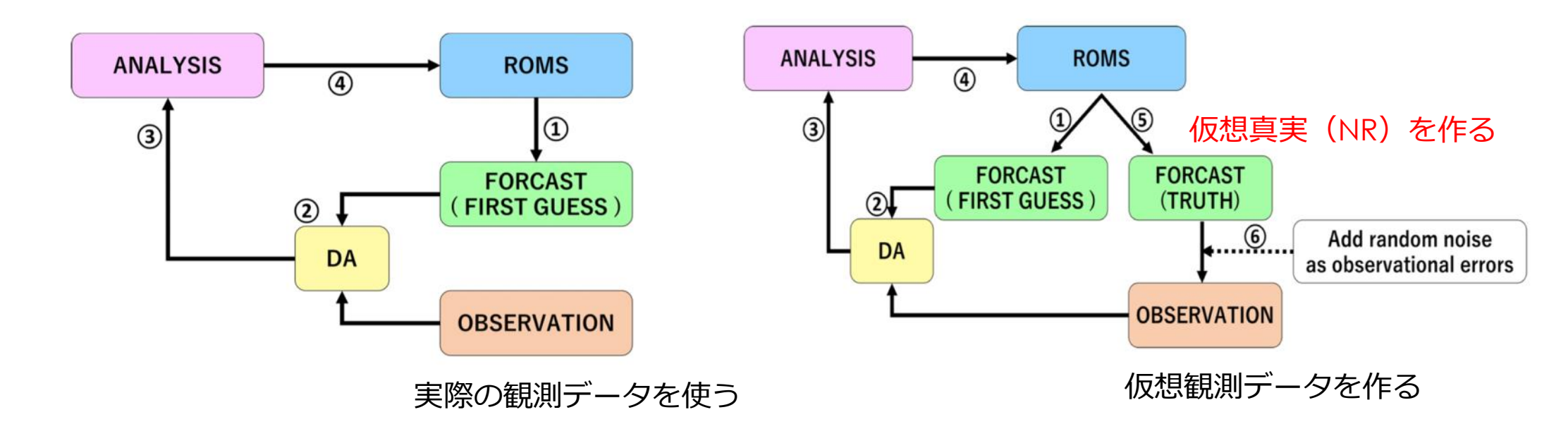
\*つまり、RMSE値が小さいほどモデルの計算結果が真実に近いことを意味する.

#### データ同化評価法:観測システムシミュレーション実験(OSSE)

OSSE: 実在しない観測システム(仮想観測システム)を計算機に構築し,仮想的な観測データを用いてデータ同化実験を行い,DAと観測システムの振る舞いを評価する手法

#### 通常のデータ同化サイクル

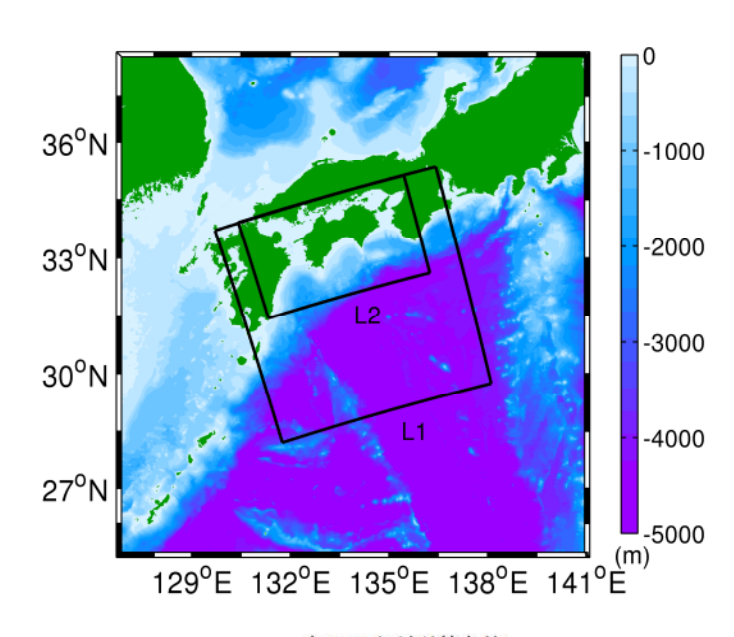
#### OSSEによるデータ同化サイクル



# 1. 瀬戸内海全域3DVARデータ同化流動予測システムの開発

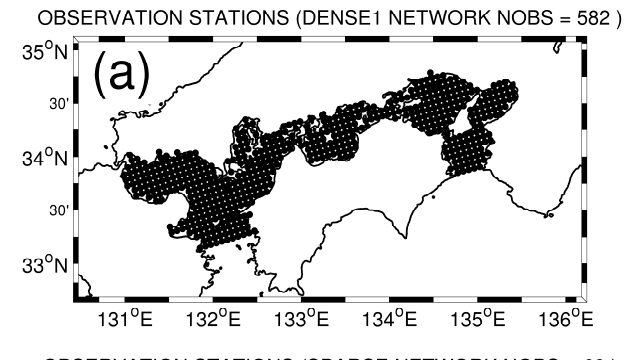
神戸大で開発され運用中の高解像度3次元瀬戸内海流動モデルへ計算負荷の低い3DVARを実装し、観測データの入力システムと評価システムの開発を行う

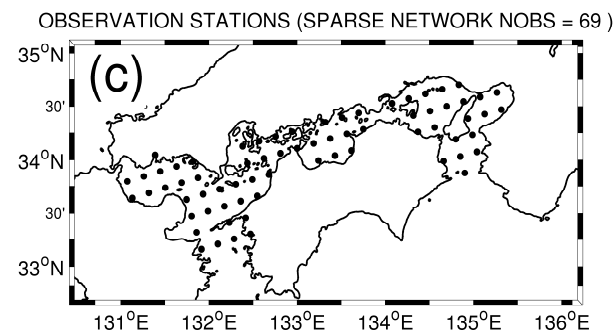
## 3DVAR瀬戸内海モデルとOSSE評価

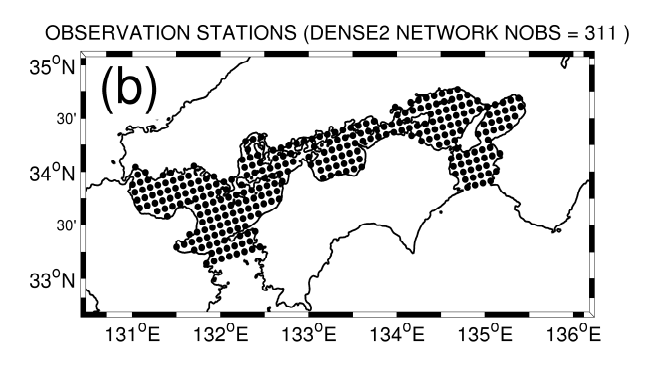


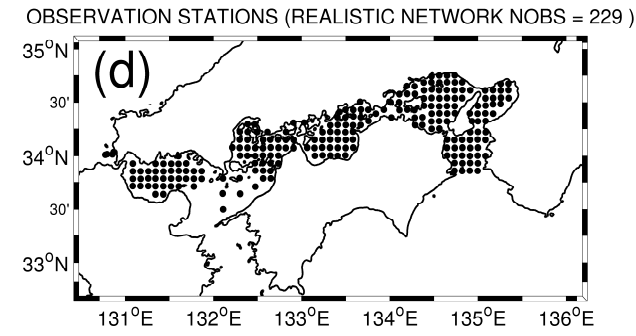
#### 表-1 L2 領域計算条件

| 計算期間     | 2007年1月1日~2015年5月1日             |  |  |  |
|----------|---------------------------------|--|--|--|
| 格子数      | 802×482×鉛直 32 層                 |  |  |  |
| 水平空間解像度  | 600 m                           |  |  |  |
| 初期・開境界条件 | ROMS-L1(水平解像度 2km)              |  |  |  |
| 外力(海上風)  | JMA GPV-MSM(1 時間値)              |  |  |  |
| 海面フラックス  | NOAA-COADS(月平均気候値)              |  |  |  |
| 潮汐       | TPXO7.0 全球調和定数(10 分潮)           |  |  |  |
| 一級河川流量   | 日本河川協会雨量・流量データベース (27本, 月平均気候値) |  |  |  |









- (a)10グリッドごとに1点観測点を設定(b)14グリッドごとに1点観測点を設定(c)30グリッドごとに1点観測点を設定

- (d)2013年瀬戸内総合水質調査における観測点

## OSSEによる同化効果の測定

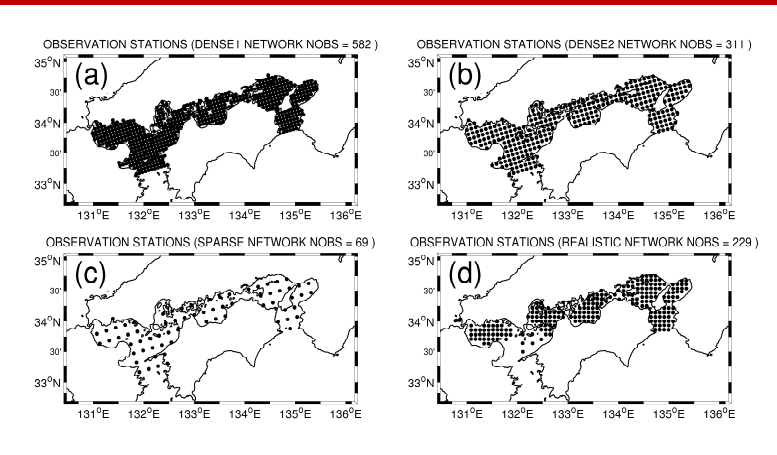
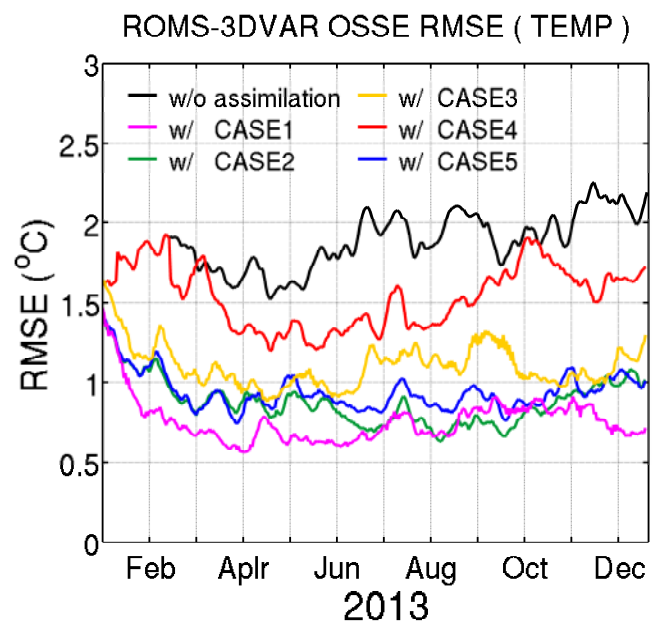
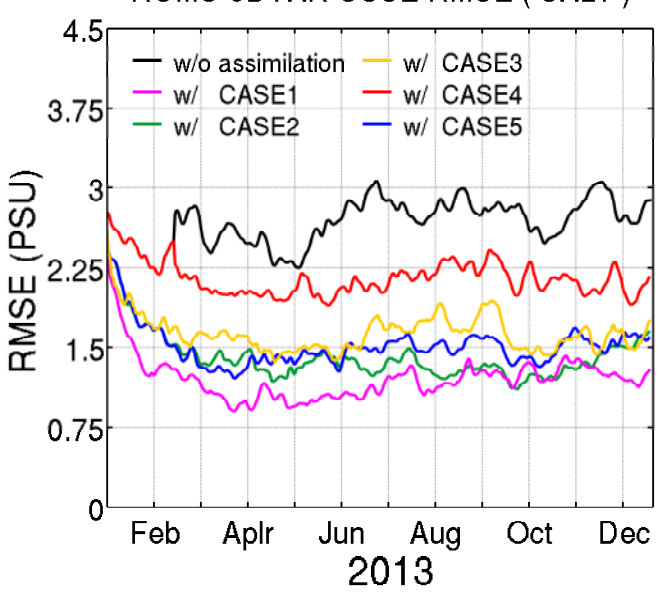


表-2OSSE解析で行ったDAあり全5ケースの諸条件.

|        | 観測点の | 観測点の      | 同化     |
|--------|------|-----------|--------|
|        | 水平分布 | 鉛直分布      | サイクル   |
| CASE 1 | (a)  | 表層から 10 層 | 1 目ごと  |
| CASE 2 | (b)  | 表層から 10 層 | 1日ごと   |
| CASE 3 | (c)  | 表層から 10 層 | 1日ごと   |
| CASE 4 | (d)  | 観測に準ずる    | 観測に準ずる |
| CASE 5 | (d)  | 表層から 10 層 | 1日ごと   |

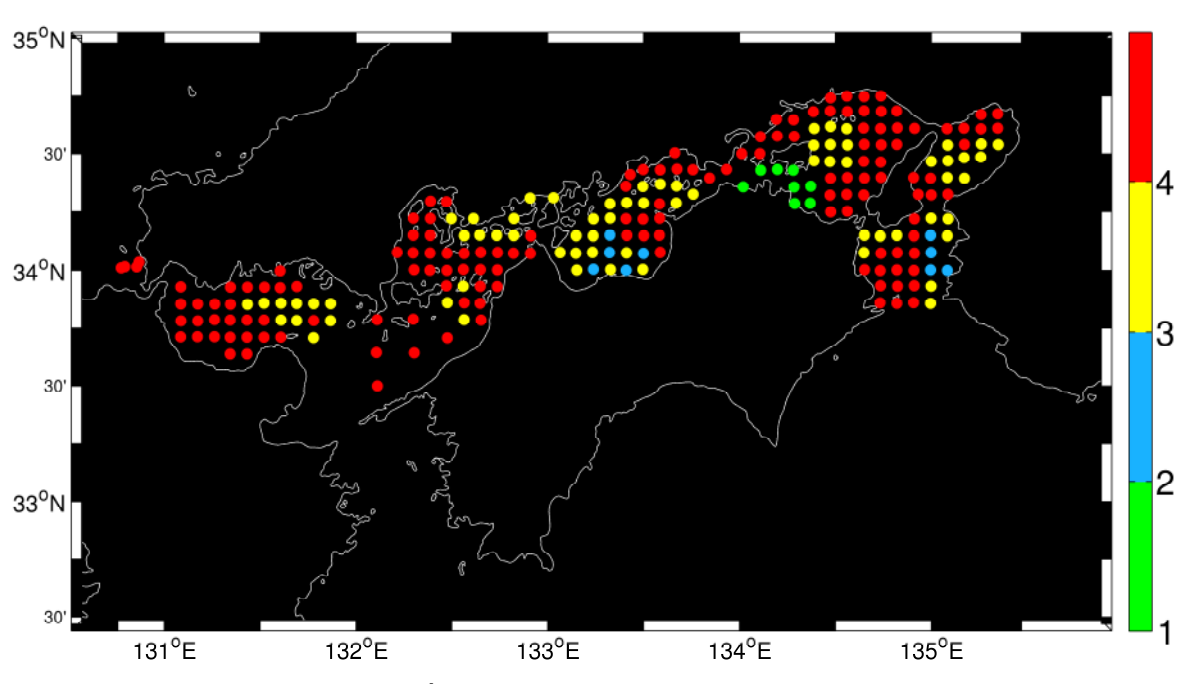




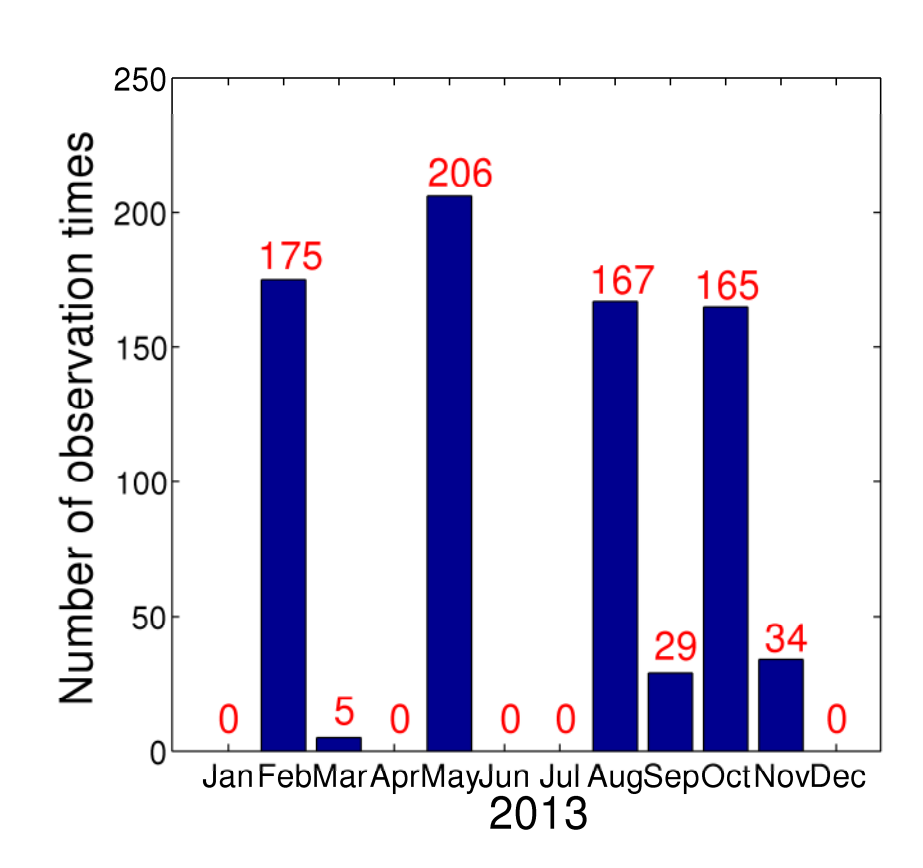


## 実際の現地観測データを3DVARで同化

#### 瀬戸内総合水質調査 (2013年)



瀬戸内総合水質調査の2013年における観測地点とその回数



## 実際の現地観測データを3DVARで同化

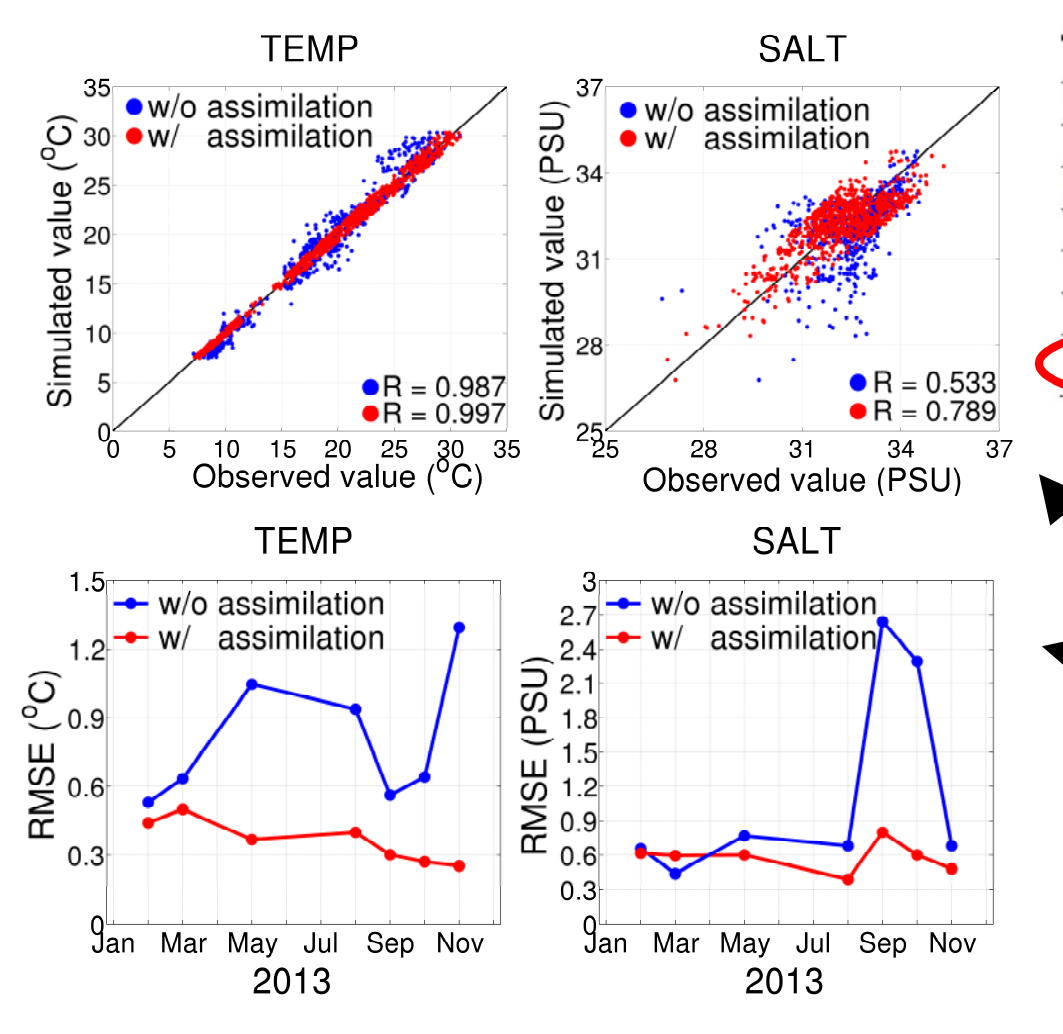
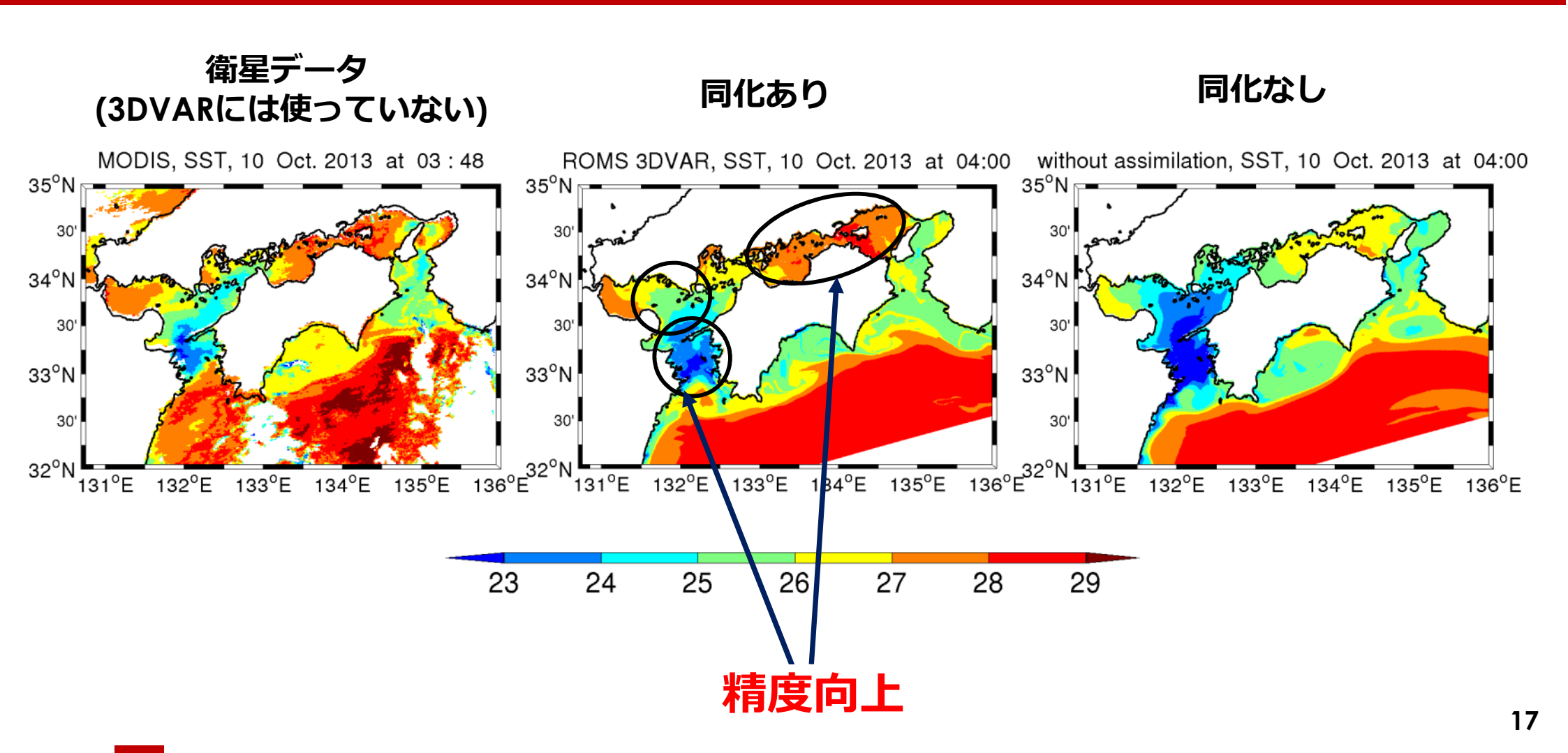


表-1 L2 領域計算条件 計算期間 2007年1月1日~2015年5月1日 格子数 802×482×鉛直32層 水平空間解像度 600 m 初期·開境界条件 ROMS-L1 (水平解像度 2km) 外力 (海上風) JMA GPV-MSM(1 時間値) 海面フラックス NOAA-COADS (月平均気候値) 日本河川協会雨量・流量データベ・ 一級河川流量 ス (27本, 月平均気候値)

瀬戸内海においては, 2級河川や出水イベントの情報が 大事!!!

## 同化に使っていない衛星データとの比較:表層水温

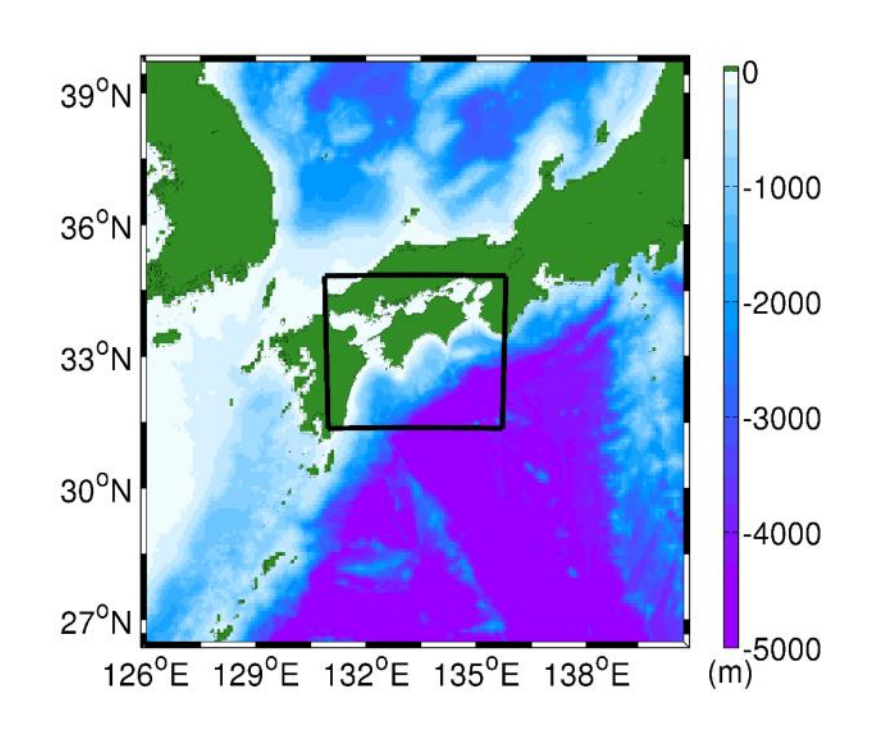


# 2. 瀬戸内海全域アンサンブルカルマンフィルター同化流動予測システムの開発

沿岸域の海洋流動予報モデルとして初めてアンサンブルカルマンフィルター法を用いたデータ同化を導入. OSSEによる精度評価および最適な観測データ取得方法提言に向けた解析を行う

# モデル計算領域と計算条件

本研究では、ENKFの膨大な計算量を考慮し、海洋再解析値JCOPE2に直接ネスティングさせた中解像度の3次元瀬戸内海流動モデル(Kurosawaら、2020)を使用する。モデル計算領域と条件は以下に示す。アンサンブルメンバー数は10とする → 小規模なスパコンあるいは高性能なワークステーションで計算可能な負荷に抑える

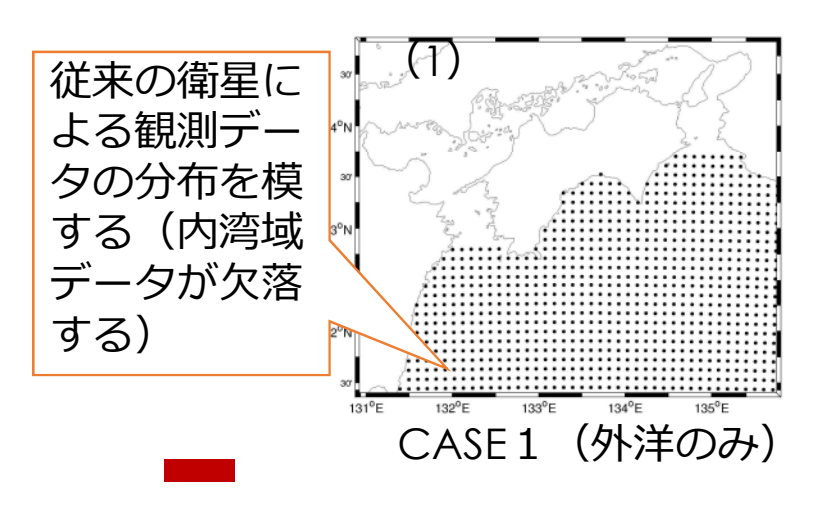


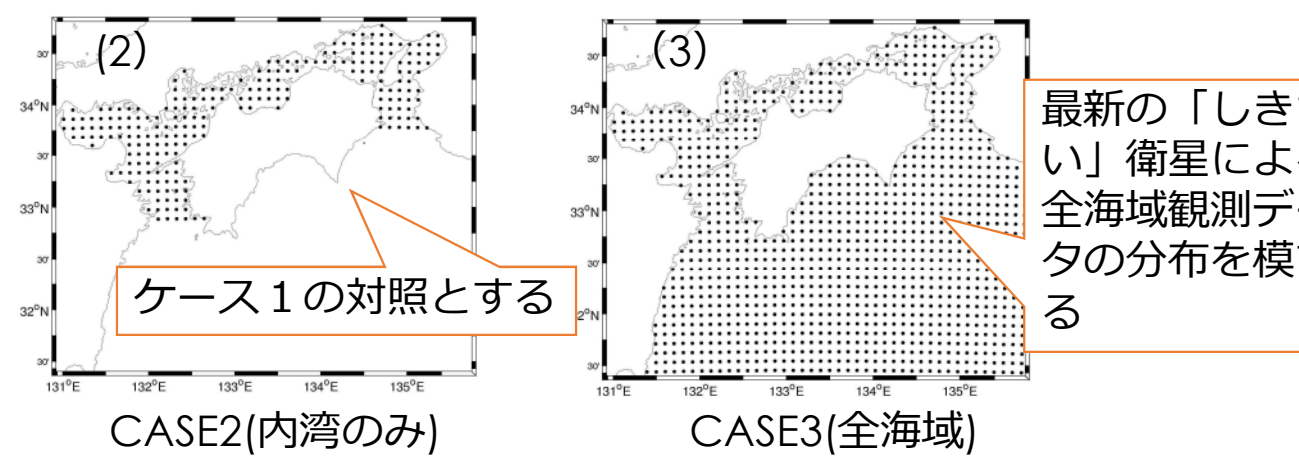
| 計算期間   | 2014年4月~2015年3月  |  |  |  |  |  |
|--------|------------------|--|--|--|--|--|
| 格子数    | 224× 192 × 鉛直20層 |  |  |  |  |  |
| 時間ステップ | 120秒             |  |  |  |  |  |
| 風応力    | GPV-MSM (気象庁)    |  |  |  |  |  |
| 各種海面   | COADS            |  |  |  |  |  |
| フラックス  |                  |  |  |  |  |  |
| 海表面温度  | Pathfinder-AVHRR |  |  |  |  |  |
| 海底地形   | JEGG500 , SRTM30 |  |  |  |  |  |
| 境界条件   | JCOPE2           |  |  |  |  |  |
| 潮汐     | TPXO7.2          |  |  |  |  |  |
| 水平解像度  | 2.0km            |  |  |  |  |  |

## OSSEによる同化実験の諸条件(CASE1~3)

開発したENKF-ROMSシステムの性能と「しきさい」衛星観測システムがモデル精度に及ぼす 影響を検討するために、 OSSE方法を用いて以下の3通りの同化実験を行う.

| OSSE   | 観測点<br>水平分布 | 観測点<br>鉛直分布 | 同化<br>サイクル | 観測地点数 |
|--------|-------------|-------------|------------|-------|
| CASE 1 | (1)         | 表層のみ        | 6時間        | 870   |
| CASE 2 | (2)         | 表層のみ        | 6時間        | 230   |
| CASE 3 | (3)         | 表層のみ        | 6時間        | 1100  |





最新の「しきさ い」衛星による 全海域観測デー 夕の分布を模す

20

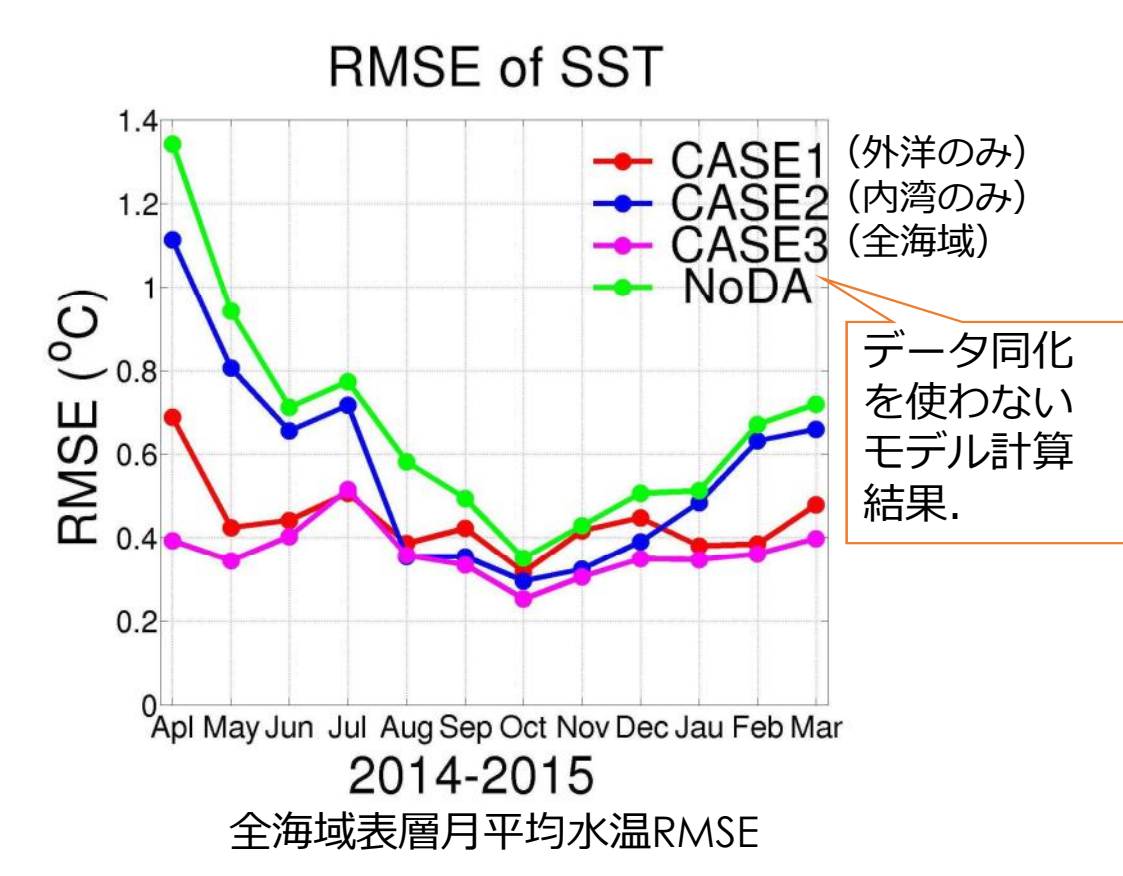
## RMSEによる同化効果の評価(CASE1~3)

RMSE(二乗平均誤差平方根) とは,以下のように定義される:

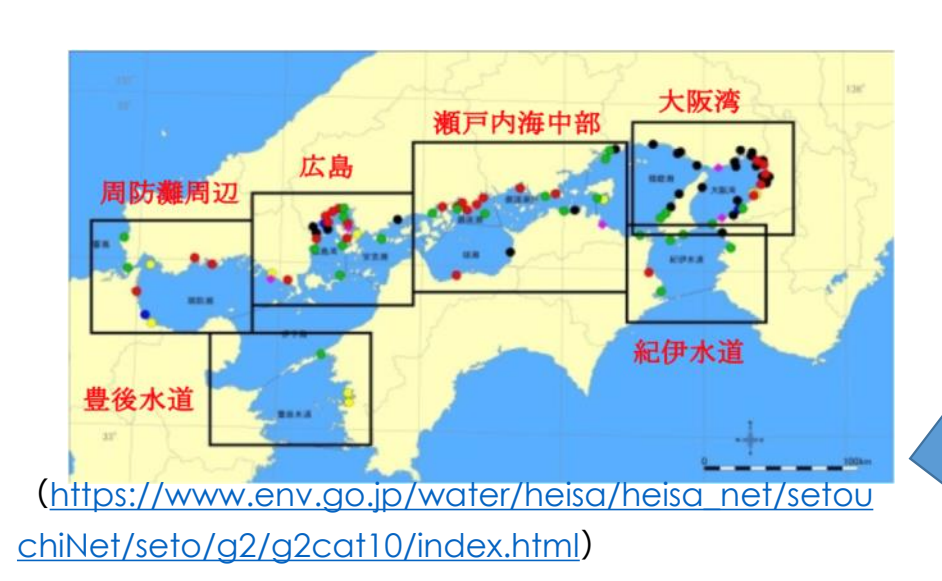
$$RMSE = \sqrt{\frac{\sum_{n=1}^{N} (y_i - x_i)^2}{N}}$$

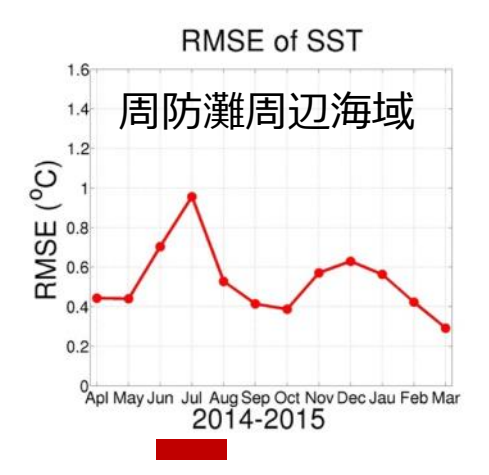
nは比較対象とするデータ数(i = 1, ..., N)である.

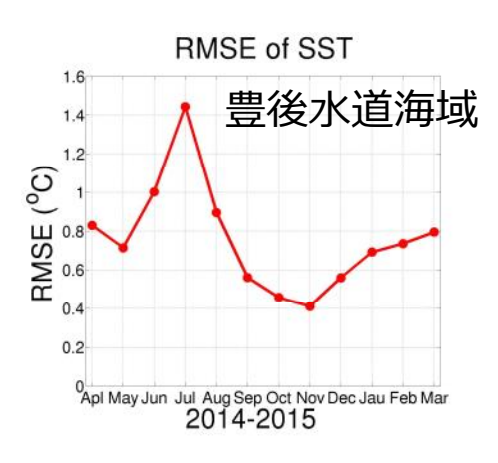
つまり、RMSE値が小さいほどモ デルの計算結果が真実に近いこと を意味する.



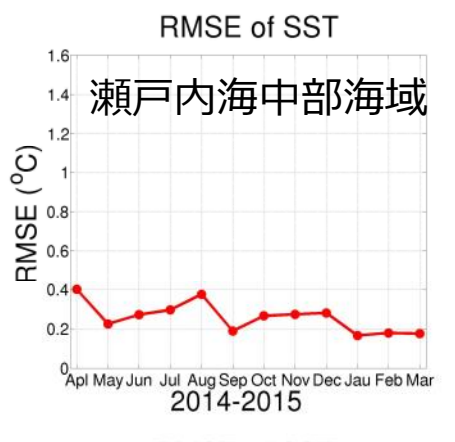
# 海域別RMSE評価(CASE3:全領域同化)

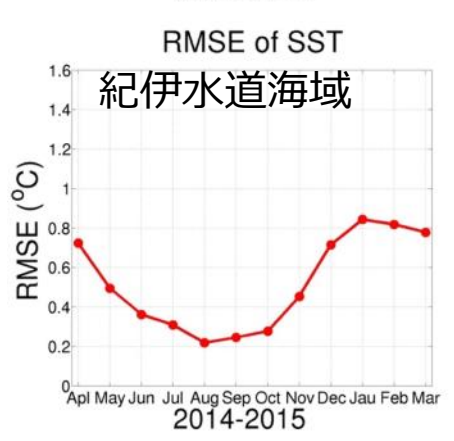




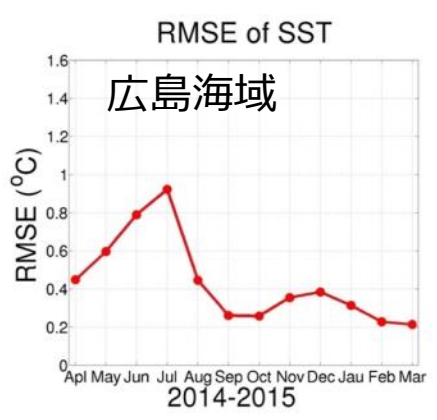


#### 同化精度が最も高いCASE3の結果を使用する

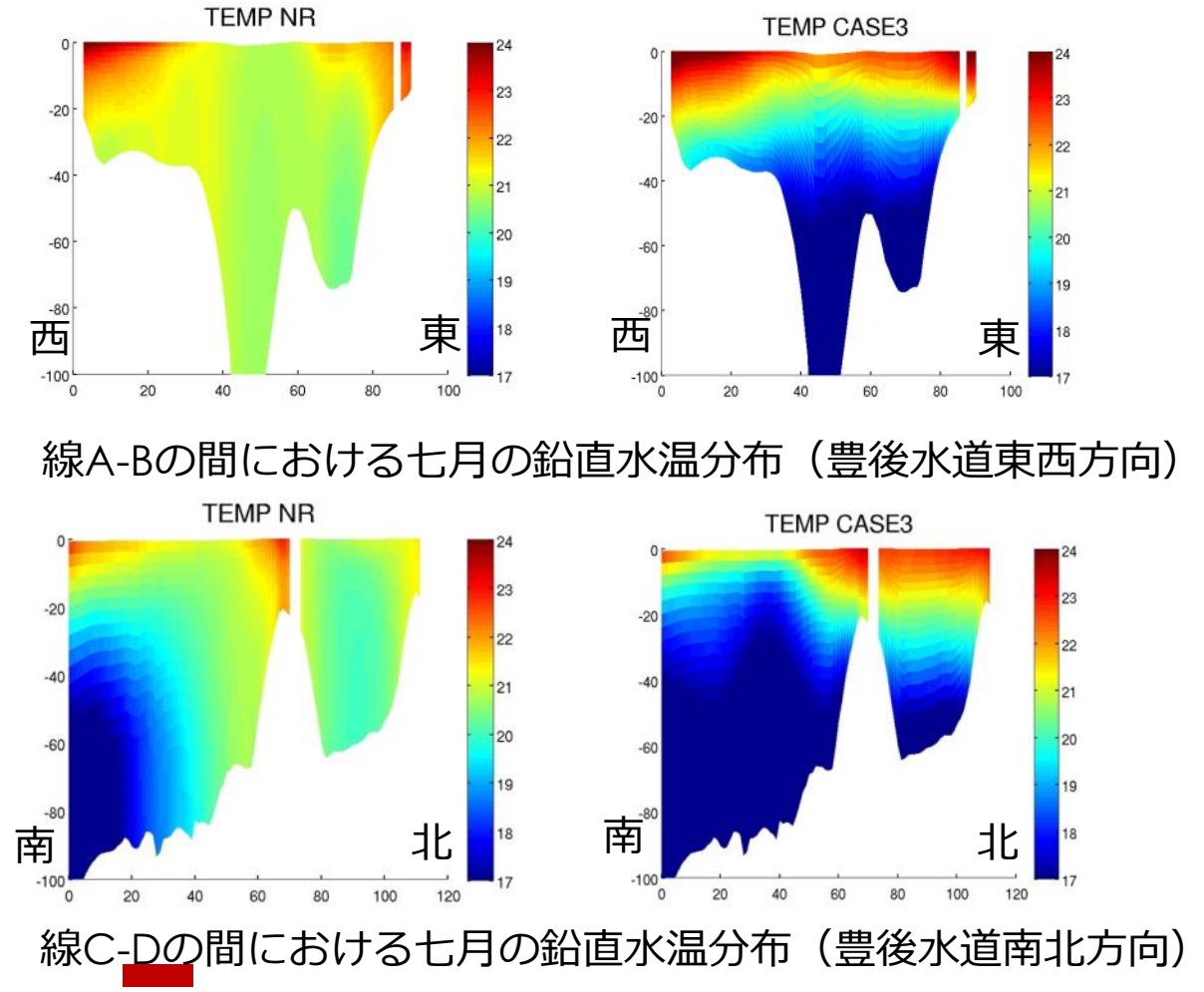








# 水温鉛直断面構造(CASE1~3)



検査線の設置場所

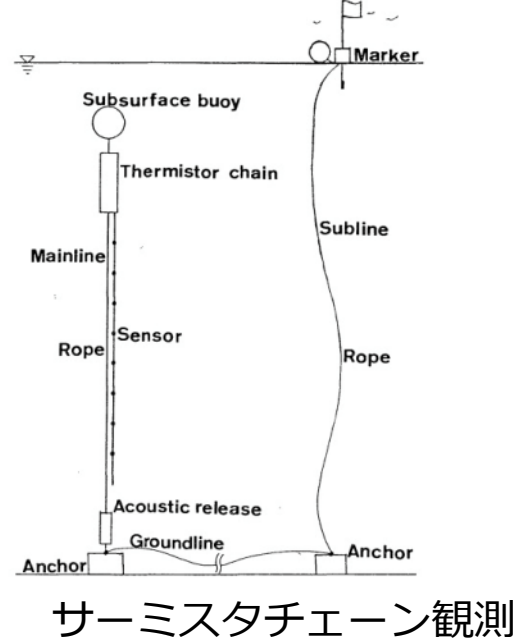
# OSSEによる同化実験の諸条件 (CASE4)

モデルの精度をさらに向上させるために、仮想鉛直観測点 を表層以下に追加して新しい同化実験を行う.

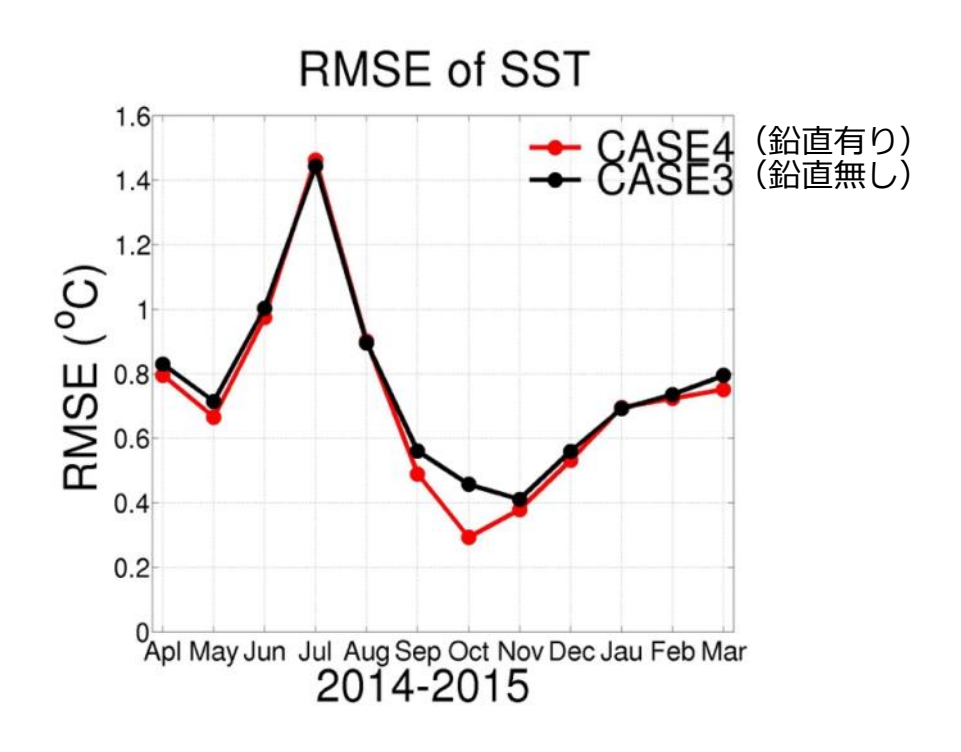
|        | 観測点  | 観測点    | 観測点  | 同化    | 観測   |
|--------|------|--------|------|-------|------|
| OSSE   | 水平分布 | 水平分布   | 鉛直分布 | サイクル  | 地点数  |
|        | (表層) | (表層以下) |      |       |      |
| CASE 4 | (1)  | (2)    | 全層   | 6時間ごと | 1176 |

33°N サーミスタチェーン による水温の鉛直観 32°N 測を模擬する. 表層 以下観測値点数総計 4×19=76個

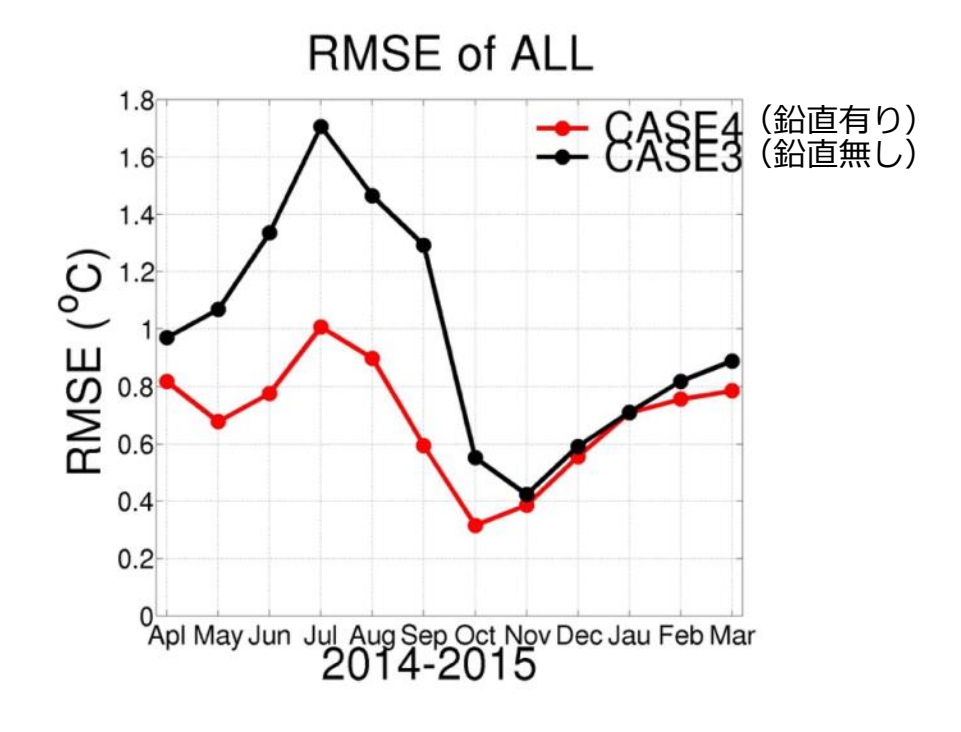
• 鉛直観測点の設置方法は、サーミス タチェーンによる水温の鉛直観測を 模擬し、鉛直20層(全層)に1層ごとに 仮想観測点を設置する.



# RMSE評価 (CASE4)

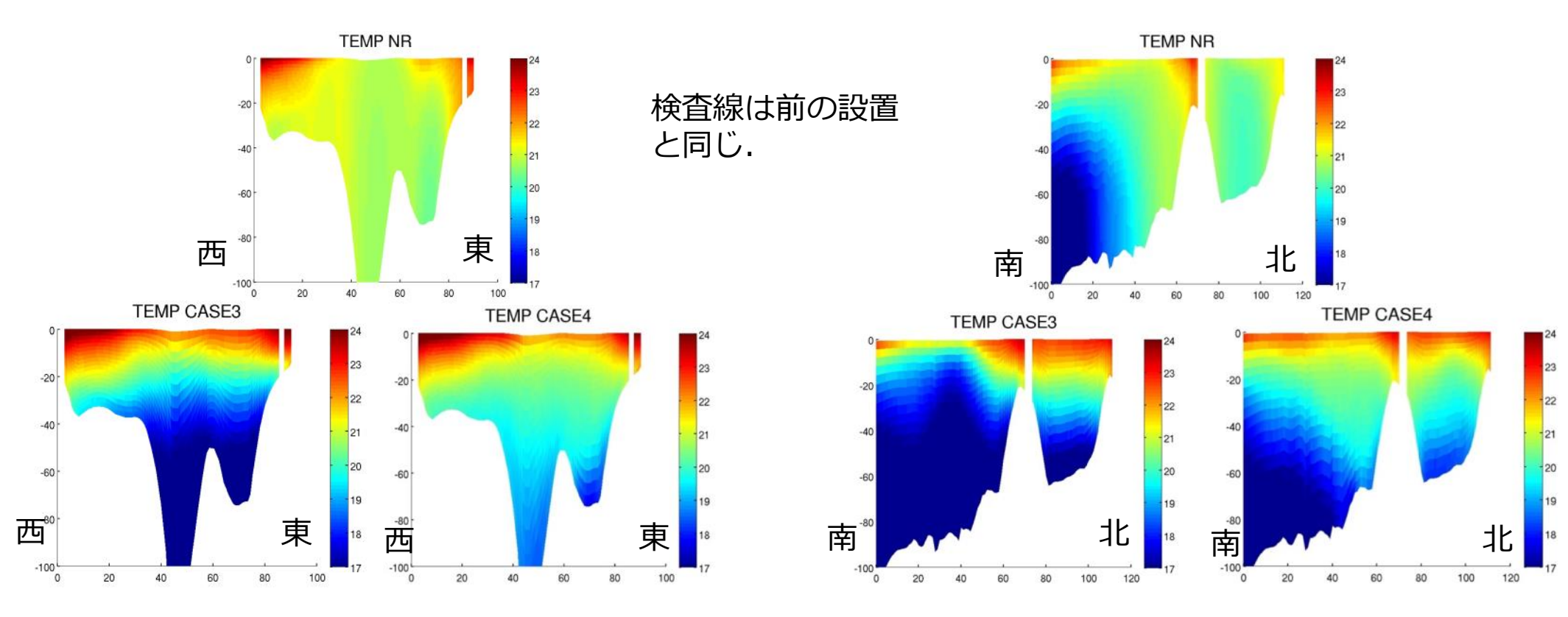


豊後水道海域の表層月平均水温RMSE



豊後水道海域の全層月平均水温RMSE

# 水温鉛直断面構造(CASE4)



線A-Bの間における七月の鉛直水温分布(豊後水道東西方向)

線C-Dの間における七月の鉛直水温分布(豊後水道南北方向)

# 豊後水道での精度低下についての考察

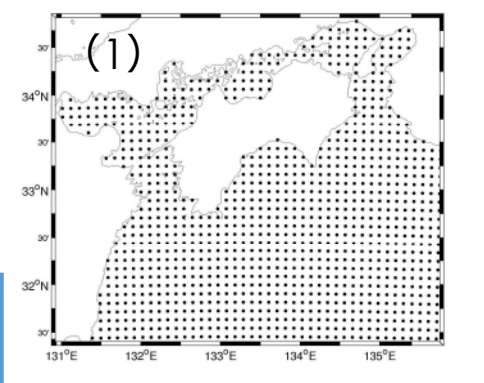
- ・豊後水道南部の下層には、陸棚斜面に起源をもつ冷水が侵入する現象によって冷水層が形成される。この冷水侵入現象は底入り潮(Bottom Intrusion)と呼び、毎年の初夏から晩秋まで繰り返し発生する(Kanedaら、2002)。
- 本研究では、表層観測のみを同化するCASE 1 ~ 3 の場合、底入り潮を正確に再現されていなく、底入り潮の過度な侵入によって下層水温がかなり低くなり、モデル精度が低下する. CASE 4 で鉛直観測点の導入により、底入り潮の再現性を改善し、モデル精度が飛躍的に向上した.
- つまり、底入り潮を正確に再現されることが、モデルの精度に対して非常に重要であると考えられる。

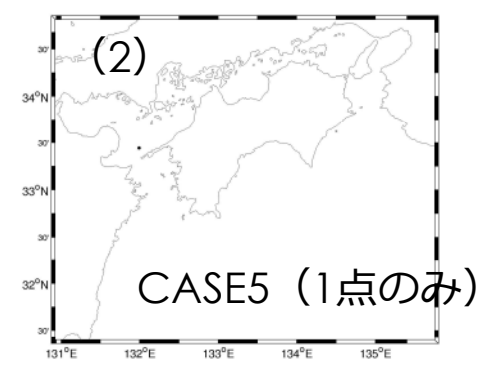
### OSSEによる同化実験の諸条件(CASE5~7)

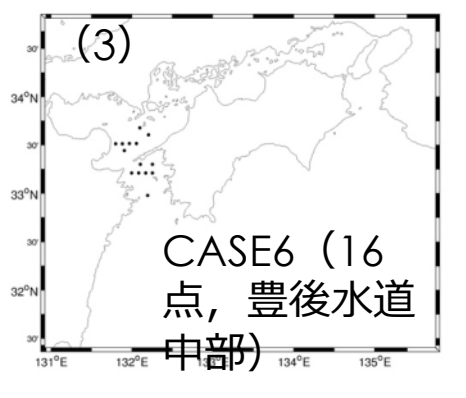
さらに,モデル再現性の向上に最適な鉛直観測点数や場所を検討するために,鉛直観測点の設置場所と観測点数のパターンを変更することで,新しい3通りの同化実験を行う.

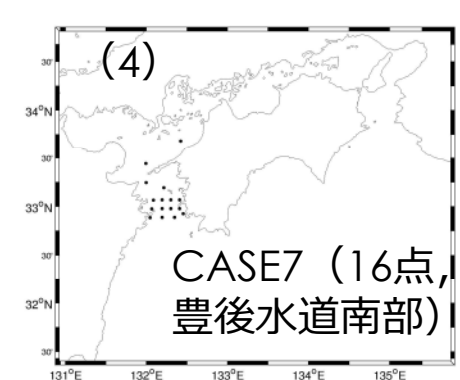
なお,計算時間の短縮のために,同化計算期間は 2014年6月~2014年8月である.

| OSSE   | 観測点<br>水平分布<br>(表層) | 観測点<br>水平分布<br>(表層以下) | 観測点<br>鉛直分布 | 同化<br>サイクル | 観測<br>地点数 |
|--------|---------------------|-----------------------|-------------|------------|-----------|
| CASE 5 | (1)                 | (2)                   | 全層          | 6時間ごと      | 1119      |
| CASE 6 | (1)                 | (3)                   | 全層          | 6時間ごと      | 1404      |
| CASE 7 | (1)                 | (4)                   | 全層          | 6時間ごと      | 1404      |



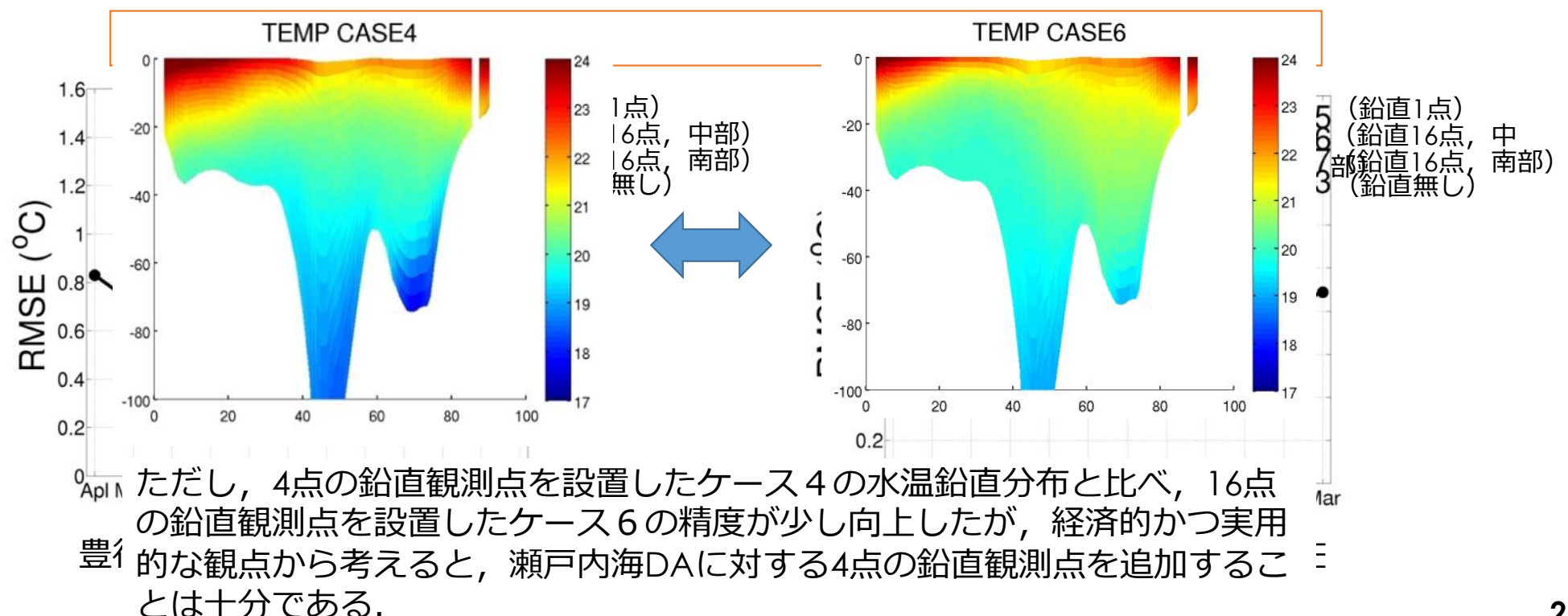






# RMSE評価 (CASE5~7)

ケース5~ケース7の計算条件はケース3と完全に一致していないので、異なる初期値と計算期間に影響されてモデル精度が変化する可能性がある。そのため、ケース3のRMSE値は参考として参照されたい。



## まとめ

#### **ROMS-3DVAR**

- ●3次元変分法にもとづくROMS-3DVARデータ同化システムを開発した.
- ●OSSEによって定量的に評価し、瀬戸内海内部におけるSST, SSS分布の再現性が飛躍的に向上することを確認
- ●瀬戸内海総合水質データを同化させた実験を行い,再現性の飛躍的な向上を確認するとともに,瀬戸内海内部の塩分場の再現性をより向上させるためには,二級河川や出水イベントを含む詳細な流量データが欠かせないことを示した

#### **ROMS-ENKF**

- ●アンサンブルカルマンフィルタ(ENKF)法にもとづくROMS-ENKFシステムを開発し,OSSEにより再現精度の向上を確認した.
- ●表層観測データ:「しきさい」衛星観測を模したOSSEを行い,全体的な再現性の大幅な向上を確認した.しかし,豊後水道海域での水温精度が他海域より低いことが示された.
- ●鉛直観測追加(サーミスタチェーン): サーミスタチェーン鉛直観測を模したOSSEにより,豊後水道の下層水温精度が飛躍的に向上した.鉛直観測点の設置場所は豊後水道中部が最適であること,観測点数では多いほど精度向上すること,実用的には4点程度の鉛直観測点の設置でも十分であることを示した.

沿岸・内湾を対象とした実用的なDAシステムが開発され、今後の幅広い活用が期待される.

# 参考資料:NMC法とは

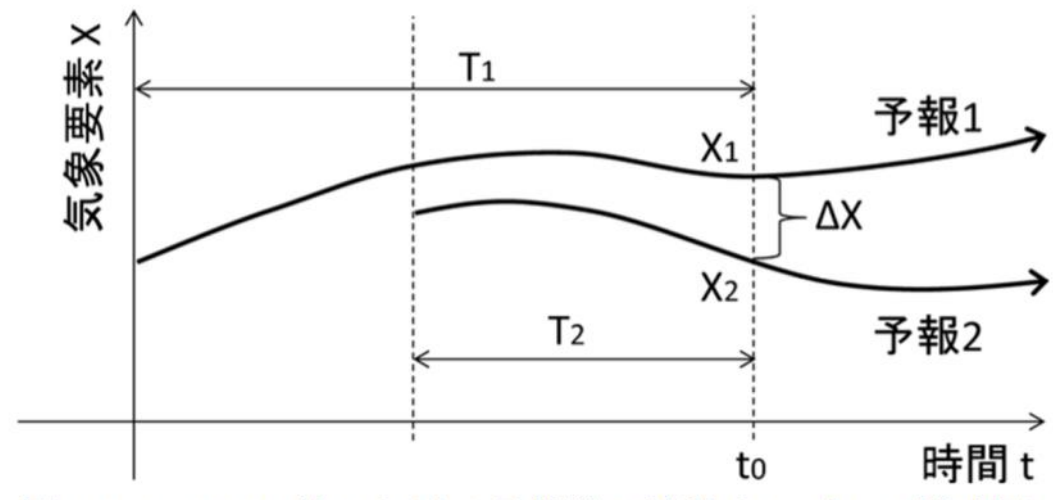


図 2.2.1 NMC 法における予報差の統計サンプルの模式図。 初期時刻の異なる予報 1、予報 2 による、対象時刻  $t_0$  における気象要素 X の予報値  $X_1, X_2$  (それぞれの予報時間は  $T_1, T_2$ ) の差  $\Delta X$  を予報誤差の情報を含むサンプルとみなす。

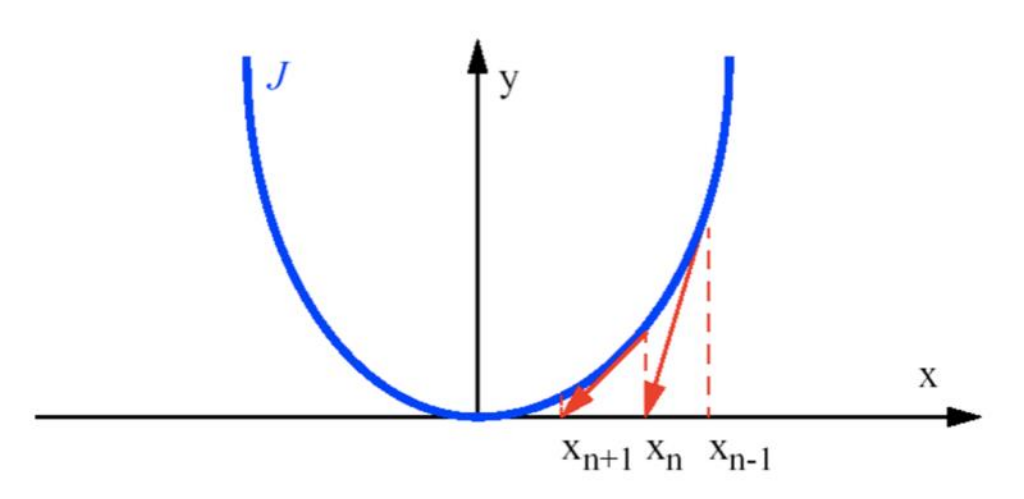
NMC法は、状態変数のすべての要素について誤差が推定できるという点で優れており、 2メンバーのアンサンブル予報による誤差の推定と見なせる。 多数のメンバーを用いたアンサンブル予報による誤差推定法(解析アンサンブル法)もあるが、 NMC法は簡便であるため、よく使われている。

# 3次元変分法 (3D-VAR)

$$\nabla J(x) = B^{-1}(x - x^b) + H^T R^{-1}(H(x) - y)$$

- ・評価関数の最小値は通常、繰り返し計算により数値的に探索する.
- ・この最小値の探索法のことを降下法と呼ぶ.
- 一般に降下法では、評価関数の値とその勾配ベクトルの値を 手掛かりとして最小値探索を行う。

3DVAR minimization: An illustration of gradient descent



## ENKFの設定

- アンサンブルの処理方法について,本ROMS-ENKFシステムでは,逐次アンサンブル平方根フィルタ法14 (Serial Ensemble Square Root Filter: Serial EnSRF)を用いた.
- Miyoshiらにより、モデルの長期ランからランダムな時刻の予報場を初期アンサンブルメンパーに選んで良好な結果を得ている。また、本研究では現実の問題を取り扱うではなく、精度検証を目的として同化実験を行うので、瀬戸内海ROMSモデルの長期ランの中に、アンサンブルメンバーをランダムに選択した.
- 使用できる計算資源などを考慮し、本研究ではアンサンブル数を10としてデータ同化を行う。アンサンブルメンバー数の不足によるサンプリングエラーを除去するために、本研究では、誤差共分散局所化(covariance localization)を行った。局所化を行ったデータ同化実験の結果により、設定した10個のアンサンブルは十分であることが確認された。
- 予報誤差が過小評価されないために,解析誤差共分散 $P_i^f$ に共分散膨張(covariance inflation)を以下の式のように行なっている。

$$P_i^f = P_i^f (1 + \delta)$$

ここに、 $\delta$ は共分散膨張係数. 本研究では $\delta$ =0.4を使っている.